



AB 1571



SOLDI Sp. z o.o.  
ul. Bieżanowska 22  
30-812 Kraków

# Sprawozdanie nr 259/2023/OS/02

Sprawozdanie z badania natężenia pól elektromagnetycznych  
wykonanych w środowisku

Miejsce wykonania badania:

(dane uzyskane od klienta)

**JRS7114\_B**

37-522 Szówsko, Polna dz. nr 1459,  
pow. jarosławski, woj. podkarpackie

Data zakończenia badania:

16.06.2023 r.

Klient:

P4 Sp. z o.o.  
ul. Wynalazek 1  
02-677 Warszawa

Autoryzacja / wydanie sprawozdania:



  
Leszek Duda  
Kierownik ds. Technicznych

Bez pisemnej zgody laboratorium, sprawozdanie nie może być powielane inaczej, jak tylko w całości.

## 1. Podstawa prawna

Badania wykonano zgodnie z obecnie występującymi aktami prawnymi:

- Ustawa z dnia 27 kwietnia 2001 r. Prawo ochrony środowiska (Dz. U. 2022 poz. 2556 z zm.),
- Rozporządzenie Ministra Zdrowia z dnia 17 grudnia 2019 r. w sprawie dopuszczalnych poziomów pól elektromagnetycznych w środowisku (Dz. U. 2019 poz. 2448),
- Rozporządzenie Ministra Klimatu z dnia 17 lutego 2020 r. w sprawie sposobów sprawdzania dotrymania dopuszczalnych poziomów pól elektromagnetycznych w środowisku (Dz. U. 2022 poz. 2630).

## 2. Aparatura pomiarowa

Podczas badań użyto następującej aparatury pomiarowej:

**Tabela nr 1**

Miernik szerokopasmowy	Sondy	Zakres częstotliwościowy	Zakres pomiarowy*	Świadectwo wzorcowania
Narda NBM-520 Nr D-1583	EF-0392 nr E-0004	0,1 – 3 600 MHz	0,5 – 800 V/m	LWiMP/W/229/21; data wydania: 07.07.2021
Narda NBM-520 Nr D-1583	EF-6091 nr 01164	80 – 90 000 MHz	0,5 – 300 V/m	LWiMP/W/229/21; data wydania: 07.07.2021
*Do wyznaczenia poprawnej wartości natężenia pola elektromagnetycznego uwzględniono współczynniki korekcyjne z właściwego świadectwa wzorcowania.				

Aparaturę pomiarową charakteryzują następujące wartości niepewności pomiaru obliczone i przedstawiona zgodnie z dokumentem PN-EN 50413. Podane wartości niepewności stanowią niepewności rozszerzone dla poziomu ufności 95% i współczynnika rozszerzenia  $k=2$ .

Procedury wdrożone w laboratorium pozwalają zapewnić odporność elektromagnetyczną miernika.

Niepewność pomiarowa wyznaczona dla zainstalowanych i skonfigurowanych obiektów – źródeł pól, jak w dniu pomiaru wynosi 33%.

Dodatkowa aparatura pomiarowa:

- Kompas (busola) [UP/10/Sw]
- Cyfrowy miernik wilgotności względnej i temperatury powietrza AZ8703  
nr fab. S/N:10047614 [UP/11/Sw]  
(Świadectwo wzorcowania: 0367/AH/15; data wydania: 17.03.2015)
- Taśma miernicza geodezyjna 50 m [UP/12/Sw]  
(Świadectwo wzorcowania: 1429.01-M11-4180-515/15; data wydania: 27.04.2015)
- Odbiornik GPS HUAWEI P20 Pro [UP/21/Sw]

### 3. Opis badania

Badanie przeprowadziło Laboratorium Badawcze Soldi na podstawie zlecenia firmy P4 Sp. z o.o.

Badanie wykonano zgodnie z:

*Załącznikiem do rozporządzenia Ministra Klimatu z dnia 17 lutego 2020 r. w sprawie sposobów sprawdzania dotrzymania dopuszczalnych poziomów pól elektromagnetycznych w środowisku (Dz. U. 2022 poz. 2630).*

Badania promieniowania elektromagnetycznego, którego źródłem są urządzenia wyszczególnione w punkcie 4 sprawozdania przeprowadzono w pionach pomiarowych na kierunkach zbliżonych do azymutów badanej instalacji, w szczególności w tych miejscach, w których na podstawie uprzednio przeprowadzonych obliczeń, stwierdzono występowanie w danych zakresach częstotliwości pól-EM o poziomach zbliżonych do poziomów dopuszczalnych oraz do odległości, dla której stwierdzono w miejscach dostępnych dla ludności występowanie pól elektromagnetycznych o najwyższym poziomie, które pochodzą z badanej instalacji. Badania pól elektromagnetycznych przeprowadzono w pionach pomiarowych wzdłuż głównych kierunków pomiarowych, dodatkowych pionach oraz w miejscach dostępnych dla ludności w otoczeniu instalacji. W przyjętych pionach pomiarowych pomiary wykonano na wysokościach od 0,3 m do 2,0 m nad powierzchnią terenu albo nad innymi miejscami dostępnymi dla ludności. W pobliżu urządzeń, obiektów i elementów metalowych pomiary wykonano w odległości nie mniejszej niż 0,3 m od tych urządzeń, obiektów i elementów metalowych.

Przy sprawdzeniu dotrzymania dopuszczalnych poziomów pól elektromagnetycznych w środowisku nie uwzględnia się poprawek pomiarowych ze względu, na fakt iż pomiary wykonywane są przy użyciu miernika szerokopasmowego.

#### 4. Informacje przekazane przez klienta

Tabela nr 2 – Opis obiektu, w otoczeniu którego wykonano badania oraz określenie terenu wokół stacji

Tabela nr 2a – Szczegółowe dane źródła pól dla anten mikrofalowych

Tabela nr 2b – Szczegółowe dane źródła pól dla anten sektorowych

**Tabela nr 2**

Opis obiektu, w otoczeniu którego wykonano pomiary	
Rodzaj konstrukcji wsporczej:	Stalowa wieża kratowa
Wysokość wieży:	49,95 m n.p.t.
Rodzaj terenu wokół stacji bazowej:	Stacja bazowa zlokalizowana jest na terenie wiejskim, w najbliższym otoczeniu stacji znajdują się tereny rolne oraz rozproszona zabudowa mieszkaniowa.

**Tabela nr 2a**

Charakterystyka promieniowania				kierunkowa					
Rzeczywisty czas pracy [h/dobę]				24					
Rodzaj wytwarzanego pola				stacjonarne					
Linia radiowa				Antena					
Lp.	Typ nadajnika	Częstotliwość pracy [GHz]	Moc wyjściowa [dBm]	Typ / producent	Średnica anteny [m]	Azymut [°]	Wysokość zainstal. [m]	LON	LAT
1	OPTIX RTN/HUAWEI	80	17,21	0.6-80 (VHLP2-80)	0,6	177	45	22°42'57.14"E	50°03'20.13"N

**Tabela nr 2b**

Charakterystyka promieniowania				kierunkowa					
Rzeczywisty czas pracy [h/dobę]				Całodobowa 24h					
Warunki pracy				Znamionowe					
Rodzaj wytwarzanego pola				stacjonarne					
Lp.	Typ nadajnika	Antena Producent / Typ	Azymut [°]	Wysokość środka elektr. anteny [m n.p.t.]	Pasma [Mhz]	Kąt nachylenia [°]	EIRP dla anteny [W]	LON	LAT
1	RBS6xxx/2xxx/4xxx	Huawei ATR4518R6	30	47	800	0 - 10	1628	22°42'57.12"E	50°03'20.14"N
	RBS6xxx/2xxx/4xxx				2600	0 - 10		22°42'57.12"E	50°03'20.14"N
2	RBS6xxx/2xxx/4xxx	Huawei ATR4518R6	30	47	900	0 - 10	1242	22°42'57.12"E	50°03'20.14"N
	RBS6xxx/2xxx/4xxx				1800	0 - 10		22°42'57.12"E	50°03'20.14"N
	RBS6xxx/2xxx/4xxx				2100	0 - 10		22°42'57.12"E	50°03'20.14"N
3	RBS6xxx/2xxx/4xxx	Huawei ATR4518R6	140	47	800	0 - 10	1628	22°42'57.12"E	50°03'20.14"N
	RBS6xxx/2xxx/4xxx				2600	0 - 10		22°42'57.12"E	50°03'20.14"N
4	RBS6xxx/2xxx/4xxx	Huawei ATR4518R6	140	47	900	0 - 10	1242	22°42'57.12"E	50°03'20.14"N
	RBS6xxx/2xxx/4xxx				1800	0 - 10		22°42'57.12"E	50°03'20.14"N
	RBS6xxx/2xxx/4xxx				2100	0 - 10		22°42'57.12"E	50°03'20.14"N
5	RBS6xxx/2xxx/4xxx	Huawei ATR4518R6	250	47	800	0 - 10	1628	22°42'57.12"E	50°03'20.14"N
	RBS6xxx/2xxx/4xxx				2600	0 - 10		22°42'57.12"E	50°03'20.14"N
6	RBS6xxx/2xxx/4xxx	Huawei ATR4518R6	250	47	900	0 - 10	1242	22°42'57.12"E	50°03'20.14"N
	RBS6xxx/2xxx/4xxx				1800	0 - 10		22°42'57.12"E	50°03'20.14"N
	RBS6xxx/2xxx/4xxx				2100	0 - 10		22°42'57.12"E	50°03'20.14"N

W załączonej tabeli podano maksymalne parametry pracy tej instalacji deklarowane przez prowadzącego instalację. Podczas pomiarów urządzenia użytkownika pracowały przy aktualnie występującym obciążeniu. Anteny o sterowanych wiązkach zostały ustawione w sposób umożliwiający spełnienie wymagań pkt 13 ppkt 2 RMK.

Jako dopuszczalne poziomy gęstości pola elektromagnetycznego przyjmuje się wartość  $2 \text{ W/m}^2$ , co odpowiada natężeniu składowej elektrycznej pola elektromagnetycznego o wartości  $28 \text{ V/m}$  – tj. minimalnej wartości dopuszczalnej dla zakresu częstotliwości od 10 MHz do 300 GHz, dzięki czemu zostaje uwzględniona obecność innych instalacji emitujących pole – EM w sąsiedztwie.

## 5. Wyniki badań i szkic sytuacyjny

Tabela nr 3

Data wykonania pomiarów	Godzina		Opady	Temperatura [°C]		Wilgotność [%]	
	Rozpoczęcia pomiarów	Zakończenia pomiarów		Minimalna	Maksymalna	Minimalna	Maksymalna
16.06.2023	13:15	14:20	Brak	16,8	17,9	66	68

Temperatura i wilgotność względna nie wyższa niż dopuszczalna specyfikacja miernika.

Tabela nr 4

Nr pionu / punktu	Lokalizacja pionu / punktu pomiarowego			Wysokość pomiaru	Wartość zmierzona	Wynik badania pola-E <sup>*)</sup>	Wskaźnik poziomu emisji WM <sub>E</sub>	Wartość wyznaczona pola-H	Wskaźnik poziomu emisji WM <sub>H</sub>
	LAT	LON	Opis						
1	2	3	4	5	6	7	8	9	10
1	50.05566	22.71593	GKP; poziom terenu wokół stacji bazowej	2,0	0,5	0,7	0,02	0,002	0,02
2	50.05581	22.71606	GKP; poziom terenu wokół stacji bazowej	2,0	0,8	1,1	0,04	0,003	0,04
3	50.05592	22.71617	GKP; poziom terenu wokół stacji bazowej	2,0	0,6	0,8	0,03	0,002	0,03
4	50.05605	22.71628	GKP; poziom terenu wokół stacji bazowej	2,0	0,8	1,1	0,04	0,003	0,04
5	50.05908	22.71903	GKP; poziom terenu wokół stacji bazowej 449m od obiektu na azymucie 30°	2,0	0,5	0,7	0,02	0,002	0,02
6	50.05554	22.71595	GKP; poziom terenu wokół stacji bazowej	2,0	0,5	0,7	0,02	0,002	0,02
7	50.05542	22.71611	GKP; poziom terenu wokół stacji bazowej	2,0	0,6	0,8	0,03	0,002	0,03
8	50.05530	22.71625	GKP; poziom terenu wokół stacji bazowej	2,0	0,8	1,1	0,04	0,003	0,04
9	50.05519	22.71642	GKP; poziom terenu wokół stacji bazowej	2,0	0,6	0,8	0,03	0,002	0,03
10	50.05251	22.71992	GKP; poziom terenu wokół stacji bazowej 449m od obiektu na azymucie 140°	2,0	0,5	0,7	0,02	0,002	0,02
11	50.05530	22.71589	GKP; poziom terenu wokół stacji bazowej	2,0	0,5	0,7	0,02	0,002	0,02
12	50.05498	22.71591	GKP; poziom terenu wokół stacji bazowej	2,0	0,6	0,8	0,03	0,002	0,03
13	50.05468	22.71594	GKP; poziom terenu wokół stacji bazowej	2,0	0,5	0,7	0,02	0,002	0,02
14	50.05556	22.71575	GKP; poziom terenu wokół stacji bazowej	2,0	0,5	0,7	0,02	0,002	0,02
15	50.05552	22.71554	GKP; poziom terenu wokół stacji bazowej	2,0	0,6	0,8	0,03	0,002	0,03
16	50.05547	22.71531	GKP; poziom terenu wokół stacji bazowej	2,0	0,6	0,8	0,03	0,002	0,03
17	50.05541	22.71507	GKP; poziom terenu wokół stacji bazowej	2,0	0,8	1,1	0,04	0,003	0,04
18	50.05423	22.70996	GKP; poziom terenu wokół stacji bazowej 449m od obiektu na azymucie 250°	2,0	0,5	0,7	0,02	0,002	0,02
19	50.05564	22.71577	GKP; poziom terenu wokół stacji bazowej	2,0	0,5	0,7	0,02	0,002	0,02
20	50.05572	22.71556	GKP; poziom terenu wokół stacji bazowej	2,0	0,5	0,7	0,02	0,002	0,02
21	50.05580	22.71537	GKP; poziom terenu wokół stacji bazowej	2,0	0,6	0,8	0,03	0,002	0,03
22	50.05589	22.71515	GKP; poziom terenu wokół stacji bazowej	2,0	0,8	1,1	0,04	0,003	0,04

<sup>\*)</sup> Za wynik badania przyjmuje się wartość wyznaczoną jako maksymalny chwilowy wynik pomiarów powiększony o rozszerzoną niepewność pomiaru U dla współczynnika rozszerzenia k=2.

Objaśnienia:

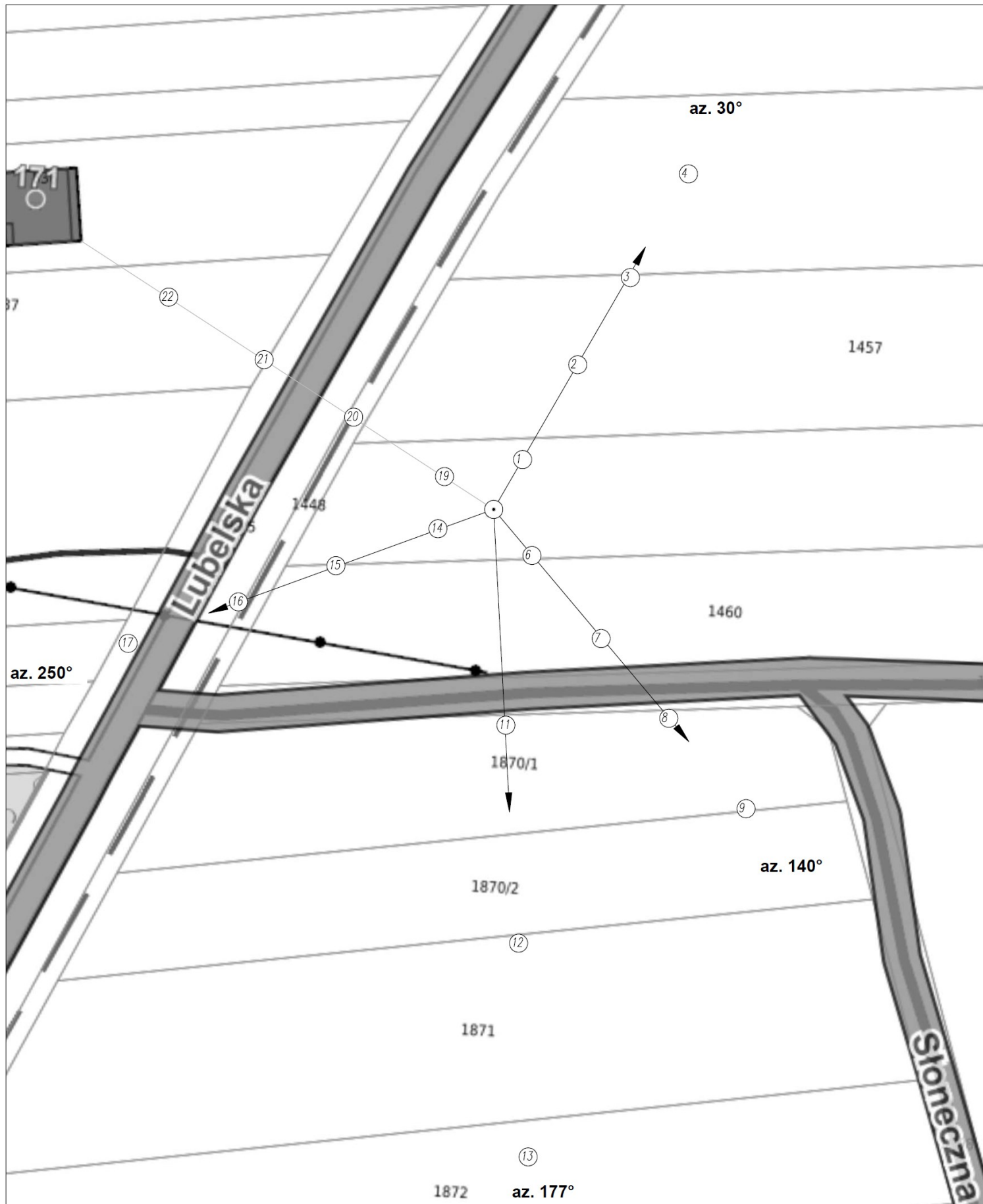
GKP – Główny Kierunek Pomiarowy

Wyniki pomiarów odnoszą się wyłącznie do przedstawionych w sprawozdaniu punktów / pionów pomiarowych.

Dane podane przez klienta wpływają na ważność wyników.

W obszarze pomiarowym nie stwierdzono obecności instalacji urządzeń obcych operatorów.

Na podstawie art. 122a ust. 1b ustawy z dnia 27 kwietnia 2001 r. - Prawo ochrony środowiska (Dz. U. 2022 poz. 2556 z zm.), nie przeprowadza się pomiarów pól elektromagnetycznych w lokalach mieszkalnych oraz w lokalach użytkowych zlokalizowanych na terytorium objętym stanem nadzwyczajnym, stanem zagrożenia epidemicznego lub stanem epidemii.



UWAGA: Nie wszystkie punkty / piony pomiarowe zostały wskazane na powyższej mapie

#### LEGENDA:

- (Nr) – Punkty (piony) pomiarowe
- – Lokalizacja źródła pola-EM



Użytkownik: P4 Sp. z o.o. 02-677 Warszawa, ul. Wynalazek 1		Nr stacji	JRS7114_B	Skala 1: 750
Nazwa rysunku: Rozmieszczenie pionów pomiarowych Nr sprawozdania: 259/2023/OS/02				
LABORATORIUM BADAWCZE SOLDI ul. Bieżanowska 22, 30-812 Kraków		Opracował: Laboratorium Badawcze Soldi		Nr rysunku 01

## 6. Podsumowanie wyników badania

Minimalne dopuszczalne poziomy elektromagnetycznego promieniowania niejonizującego charakteryzowane przez wartości graniczne wielkości fizycznych dla miejsc dostępnych dla ludności, uwzględniające wszystkie źródła promieniowania mogące występować w obszarze pomiarowym, w zakresie pomiarowym zestawu pomiarowego, opisanego w punkcie 2 niniejszego sprawozdania, zgodnie z rozporządzeniem Ministra Zdrowia z dnia 17 grudnia 2019 r. w sprawie dopuszczalnych poziomów pól elektromagnetycznych w środowisku (Dz. U. 2019 poz. 2448), które zostały przyjęte do obliczeń wskaźników  $WM_E$  i  $WM_H$  wynoszą odpowiednio:

Tabela nr 5

Zakres częstotliwości	Natężenie pola - E	Natężenie pola - H
10 MHz – 300 GHz	28 V/m	0,073 A/m

Przeprowadzone badania zostały wykonane przy użyciu miernika szerokopasmowego i nie wykazały przekroczenia 70% ww. wartości dopuszczalnych. W wyniku przeprowadzonego badania potwierdzono także, że otrzymane wartości wskaźnikowe dla wszystkich punktów / pionów pomiarowych badanej instalacji radiokomunikacyjnej, nie przekroczyły wartości 1. Zatem poziomy pól elektromagnetycznych w badanych punktach są dopuszczalne.

Stwierdzenie zgodności zostało przedstawione na podstawie wyników badań oraz informacji uzyskanych od klienta (za które Laboratorium nie ponosi odpowiedzialności) dla instalacji opisanej w punkcie 4.

Stwierdzenia zgodności dokonano na podstawie zasady podejmowania decyzji i wymagań zawartych w załączniku do rozporządzenia Ministra Klimatu z dnia 17 lutego 2020 r. w sprawie sposobów sprawdzania dotrzymania dopuszczalnych poziomów pól elektromagnetycznych w środowisku (Dz. U. 2022 poz. 2630).

Tabela nr 6

Badanie wykonał:	Sprawozdanie sporządził:	Sprawdził:
Mateusz Skotniczny	Katarzyna Duksa	16.06.2023 r. Paulina Wyrobek

-----

**KONIEC SPRAWOZDANIA**